

## ПРАВИЛА КВАНТОВАНИЯ ДЛЯ НАДБАРЬЕРНЫХ РЕЗОНАНСОВ

B.D.Mur, V.S.Popov\*

Московский инженерно-физический институт  
115409 Москва, Россия\*Институт теоретической и экспериментальной физики РАН  
117259 Москва, Россия

Поступила в редакцию 12 марта 1993 г.

Получено аналитическое продолжение условия квантования Бора–Зоммерфельда в надбарьерную область, с помощью которого найдена асимптотика энергии резонансов в режиме сильной связи.

1. Квазиклассическое приближение, или метод ВКБ, – один из самых эффективных приближенных методов квантовой механики. Обычно он используется в случае дискретного спектра (см., например, 1–3). Мы сформулируем обобщение правила квантования Бора–Зоммерфельда для квазистационарных состояний (резонансов) с комплексной энергией  $E = E_r - i\Gamma/2$ , что значительно упрощает вычисление  $E_r$  и  $\Gamma$ , особенно в предельном случае сильных внешних полей.

2. Рассмотрим гладкий (аналитический) потенциал  $U(x)$ , удовлетворяющий условиям квазиклассичности, и введем обозначения:  $x_0 < x < x_1$  – классически разрешенная область, в которой совершается финитное движение частицы,  $x_1 < x < x_2$  – подбарьерная область,  $x_m$  – вершина барьера,  $U_m = U(x_m)$ ; при  $x > x_2$  частица уходит на бесконечность. Когда энергия  $E_r \rightarrow U_m$ , точки поворота  $x_1$  и  $x_2$  сближаются; имеется (узкая) область энергий, в которой квазиклассическое приближение неприменимо. Однако при дальнейшем возрастании  $E_r$ , то есть в надбарьерной области, эти точки расходятся в комплексную плоскость, и квазиклассика снова начинает работать. Можно показать, что аналитическое продолжение условия квантования Бора–Зоммерфельда имеет вид

$$\frac{1}{2\pi} \oint_C \left\{ p + \frac{1}{24} \frac{U''}{p^3} + O(\hbar^4) \right\} dx = \left( n + \frac{1}{2} \right) \hbar, \quad (1)$$

где  $n = 0, 1, 2, \dots$ ,  $p(x, E) = [2m(E - U(x))]^{1/2}$ , контур интегрирования  $C$  охватывает точки поворота  $x_0$  и  $x_2$  (комплексные при  $E_r > U_m$ ) и учтены поправки порядка  $\hbar^2$  к обычной квазиклассике 2,3. В случае дискретного спектра контур  $C$  охватывает точки поворота  $x_0$  и  $x_1$ , которые лежат на вещественной оси 1–3. Таким образом, при переходе из подбарьерной области ( $E < U_m$ ) в надбарьерную ( $E > U_m$ ) происходит перезацепление контура интегрирования.

Уравнение (1) значительно проще в вычислительном отношении, чем другие (численные) методы определения  $E_r$  и  $\Gamma$ . В последние годы эти вопросы приобрели особую актуальность, в частности, в связи с экспериментальными наблюдениями сложной резонансной структуры сечений фотоионизации атомов в присутствии внешних полей. Оставляя эти вопросы для дальнейшего, ограничимся здесь модельным примером (2), допускающим сравнение уравнения (1) с точным решением, а также проиллюстрируем (на примере эффекта

Штарка) возможность использования его для нахождения асимптотики энергий резонансов в режиме сильной связи.

3. Рассмотрим одномерный ангармонический осциллятор:

$$H = \frac{1}{2}(p^2 + x^2) - gx^N, \quad N = 3, 5, 7\dots \quad (2)$$

Применяя (1), можно показать, что при  $g \rightarrow \infty$

$$E_n(g) \approx C_N e^{-i\pi/(N+2)} \left[ \left( n + \frac{1}{2} \right)^N g \right]^{2/(N+2)} \sum_{k=0}^{\infty} d_k \lambda^{-k\alpha}, \quad (3)$$

где  $\alpha = 4/(N+2)$ ,

$$C_N = \left\{ \left( \frac{\pi}{8} \right)^{1/2} (N+2)\Gamma \left( \frac{N+2}{2N} \right) / \Gamma \left( \frac{1}{N} \right) \cos \frac{\pi}{2N} \right\}^{2N/(N+2)}, \quad (4)$$

$$d_k = d_k^{(0)} + d_k^{(2)}(n+1/2)^{-2} + d_k^{(4)}(n+1/2)^{-4} + \dots \quad (5)$$

и  $\lambda = (n+1/2)^{(N-2)/2}g$  – эффективная константа связи для высоковозбужденных уровней. При этом  $d_0^{(0)} = 1$ , а остальные коэффициенты выражаются через контурные интегралы

$$J_k = \oint x^{2k} (1-x^N)^{1/2-k} dx$$

и могут быть вычислены аналитически.

Потенциал (2) с  $N = 3$  (кубический осциллятор) рассмотрен в работе Альвареса<sup>4</sup>, где получены численные значения  $E_n(g)$  при  $n = 0, 1$  и  $g \leq 100$  с очень высокой точностью<sup>1)</sup>. В этом случае несколько первых коэффициентов в разложениях (3), (5) имеют следующие значения:

$$\begin{aligned} C_3 &= 1,6586, & d_1^{(0)} &= 0, & d_2^{(0)} &= -0,0366 \exp(-i\pi/5), \\ d_0^{(2)} &= 3^{1/2}/50\pi = 0,0110, & d_1^{(2)} &= 0, \dots \end{aligned} \quad (6)$$

Коэффициенты  $d_k^{(j)}$  убывают с ростом  $j$  и  $k$ , поэтому в (3) можно ограничиться всего тремя членами.

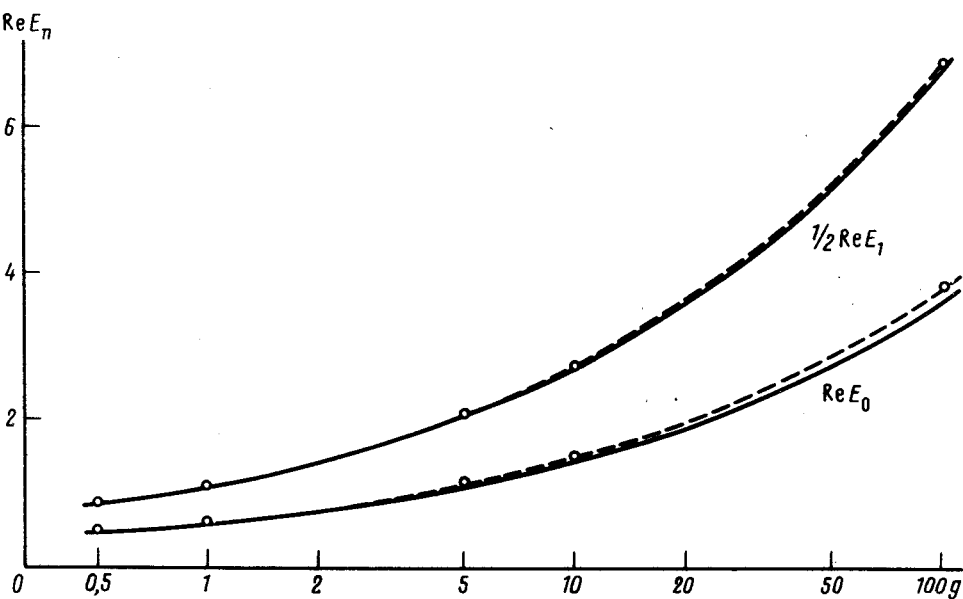
Сравнение результатов<sup>4</sup> с асимптотикой (3) показано на рисунке, из которого видно, что область применимости квазиклассической асимптотики "затягивается" до значений  $g \sim 1$  (даже в случае основного уровня,  $n = 0$ ). Особенно высокая точность достигается (см. табл. 1) для отношения

$$\xi = -\text{Im}E_n(g)/\text{Re}E_n(g). \quad (7)$$

В случае эффекта Штарка в атоме водорода квазиклассические условия квантования в подбарьерной области рассмотрены в<sup>5</sup>. Аналитическое продолжение их в надбарьерную область энергий, выполненное в соответствии с (1), приводит к следующей системе уравнений (для состояний типа  $(n_1, n_2, 0)$ ):

$$(\beta_1/z_1)^{3/4} G(-z_1) = -2\nu_1 F^{1/4},$$

<sup>1)</sup>При этом использовался метод "комплексных вращений".



Положение резонансов с  $n = 0$  (основной уровень) и  $n = 1$  для кубического ангармонического осциллятора. Сплошная кривая – главный член асимптотики, пунктир – два члена ряда (3), точками обозначены результаты численного счета<sup>4</sup>. Масштаб по оси абсцисс – логарифмический

$$(\beta_2/z_2)^{3/4}[G(z_2) - i \cdot 2^{1/2} G(1-z_2)] = 2\nu_2 F^{1/4}, \quad (8)$$

где  $z_i = 16\beta_i F/\epsilon^2$ ,  $\nu_i = (n_i + 1/2)/n$ ,  $\beta_i$  – константы разделения,  $\beta_1 + \beta_2 = 1$ ,  $G(z) = z_2 F_1(1/4, 3/4; 2; z)$ , а  $\epsilon$  и  $F$  – приведенные переменные:  $\epsilon = 2n^2(E_r - \Gamma/2)$ ,  $F = n^4 \mathcal{E}$  (как и в<sup>5,6</sup>, используются атомные единицы). В (8) мы пренебрегли поправками порядка  $\hbar^2$ , учет которых не является проблемой<sup>6</sup>.

Таблица 1

$g$	$n = 0$	$n = 1$
100	0,726541	0,726542
	0,726534	0,726539
10	0,72646	0,72650
	0,72620	0,72639
5	0,72630	0,72643
	0,7255	0,7261
1	0,72323	0,72502
	0,7128	0,7206
0,5	0,71613	0,72182
	0,684	0,714

Примечание: Приведены значения  $\xi$ , см (7), для первых двух уровней кубического осциллятора. Первая строка (при данных  $n$  и  $g$ ) – численный расчет<sup>4</sup>, вторая – асимптотика (3).

Анализ уравнений (8) показывает, что  $\epsilon \propto F^{2/3}$ ,  $\beta_i \propto F^{1/3}$  при  $F \rightarrow \infty$ . Рассмотрим два предельных случая: а) наиболее долгоживущие состояния ( $n=1, 0, 0$ ); б) короткоживущие состояния ( $0, n-1, 0$ ). Асимптотическое разложение приведенной энергии  $\epsilon$  имеет здесь более сложный вид, чем (3), и содержит, наряду со степенными поправками  $\propto F^{-k/3}$ , также и логарифмы <sup>2)</sup>:

$$\epsilon = (3\pi f)^{2/3} [1 - k_1 f^{-1/3} \ln f - k_2 f^{-1/3} + \dots]. \quad (9)$$

Здесь  $k_1 = 2/3(3\pi)^{-4/3} = 0,0335$ ,  $k_2 = 0,5402$ ,  $f = F$  в случае а) и  $f = F \exp(-i\pi)$  для б). Отметим, что старший член асимптотики  $\epsilon \propto F^{2/3}$  не зависит от вида потенциала, связывающего частицу на малых расстояниях, и определяется только однородным полем  $\mathcal{E}$ .

Решая систему (8), находим положение  $E_r$  и ширину  $\Gamma$  штарковских резонансов в сильном электрическом поле  $\mathcal{E}$ . Сравнение вычисленных значений  $E_r$  с экспериментальным положением пиков в сечении фотоионизации атомов водорода (при  $\mathcal{E} = 16,8 \text{ кВ/см}^2$ ) дано в табл.2. Из нее видно, что квазиклассика согласуется с экспериментом в пределах точности последнего ( $1 \div 2 \text{ см}^{-1}$ <sup>7)</sup>). Имеется качественное согласие и для ширин резонансов, однако этот вопрос (так же, как сравнение асимптотики (9) с численными расчетами) требует обсуждения некоторых деталей, и мы отложим его до более подробной публикации.

Таблица 2

$n_1, n_2, m$	$-E_r, \text{ см}^{-1}$		$F$	$F_*$
	теория	эксперимент <sup>7)</sup>		
16,1,0	106,9	103,8	0,343	0,2895
15,1,0	167,8	167,9	0,273	0,2626
15,0,0	196,5	198,5	0,214	0,3077
14,2,0	212,1	210,1	0,273	0,2362
13,2,0	273,6	275,8	0,214	0,2329
12,3,0	313,3	314,8	—	0,2143
11,4,0	353,8	351,4	—	0,2001
10,4,0	418,7	419,2	0,165	0,1965

Примечание:  $n_1, n_2, m$  – параболические квантовые числа штарковского резонанса,  $F = n^4 \mathcal{E}$  – приведенное электрическое поле,  $F_*$  – классический порог ионизации <sup>5,6</sup> (случаи  $F > F_*$  отвечают надбарьерным, а  $F < F_*$  – подбарьерным резонансам).

Авторы благодарны Н.Б.Делоне, Б.М.Карнакову, В.П.Крайнову и А.В.Сергееву за обсуждение работы и полезные замечания.

- Л.Д.Ландау, Е.М.Лифшиц, Квантовая механика. М.: Наука, 1974.
- C.M.Bender, K.Olaussen, and P.S.Wang, Phys. Rev. D **16**, 1740 (1977).
- R.N.Kesarwani and Y.P.Varshni, J. Math. Phys. **21**, 90 (1980).
- G.Alvarez, Phys. Rev. A **37**, 4079 (1988).
- B.M.Вайнберг, В.Д.Мур, В.С.Попов и др., Письма в ЖЭТФ **46**, 178 (1987); ЖЭТФ **93**, 450 (1987).
- V.S.Popov, V.D.Mur, A.V.Sergeev, et al., Phys. Lett. A **149**, 418, 425 (1990).
- K.Ng, D.Yao, and M.N.Nayfeh, Phys. Rev. A **35**, 2508 (1987).

<sup>2)</sup>Как можно показать, это связано с кулоновской особенностью потенциала на малых расстояниях.